

Final Report

组员分工

- 葛宇泽 (19307130176) : GAC算法和Chan-Vese算法及对应报告部分
- 邵诣 (19307130113) : Graph Cut算法及对应报告部分
- 邵彦骏 (19307110036) : GUI设计及使用手册部分

方法简介

本学期学习到的图像分割算法如 OTSU、KMeans、GMM都是通过设置阈值，根据像素值与阈值的大小关系，将像素点分为不同的类别。这些分类方法都是基于图像的像素值分布（直方图），而忽略了图像本身的区域等结构信息（如图像中两个区域之间可能存在明显的分界线）。在本次项目中，我们实现了Geodesic Active Contour、Chan-Vese model两类使用level-set的分割算法，以及基于最大流最小割原理实现的Graph Cut算法。

将图像看作在连续域中是前两种算法的理论基础。前两种算法使用闭合曲线将图像分割为曲线内部和曲线外部两部分。从设置初始曲线开始，算法检测曲线附近的图像梯度或区域差异，并逐步更新曲线，使曲线沿着图像滑动，最终“吸附”在分割区域的边界上。另外，我们还可以根据图像的特点，手动设置初始的曲线的位置。这样，图像分割的结果能够更加符合我们的意愿。第三种算法定义了一种损失函数，利用最小割算法寻找二分类损失最小的分割方式，以此实现算法分割

Level-Set Method

数字图像是由一个个像素点离散存储的。接下来，我们将图像视为连续的对像，在连续域中设计和分析算法，而在实现算法时使用数值计算等离散的方法实现。

曲线的隐式表示

根据隐映照定理， $\Gamma = \{x \in \mathbb{R}^m \mid \phi(x) = 0 \in \mathbb{R}^{m-1}\}$ 可以确定 \mathbb{R}^m 中的曲线 C 。

那么 $\Gamma = \{x \in \mathbb{R}^2 \mid \phi(x) = 0 \in \mathbb{R}\}$ 就确定了 \mathbb{R}^2 中的曲线。

对于闭合曲线，对图像域中的任意点 (x, y) 有

$$\phi(x, y) = \begin{cases} > 0 & \text{for } (x, y) \in \Omega^+ \\ = 0 & \text{for } (x, y) \in \Omega_0 \\ < 0 & \text{for } (x, y) \in \Omega^- \end{cases}$$

Ω^- : 曲线内部

Ω^+ : 曲线外部

Ω_0 : 曲线上

可以证明，曲线的法向量为： $\vec{N} = -\frac{\nabla\phi}{|\nabla\phi|}$

曲线的曲率为: $\kappa = \operatorname{div} \left(\frac{\nabla \phi}{|\nabla \phi|} \right)$

曲线的演化

我们希望, 曲线是随时间变化的(受变化的力的影响), 并最终能够吸附在我们想要分割的区域的边界上。

记 $\mathbf{z}(t) = \begin{bmatrix} x(t) \\ y(t) \end{bmatrix}$, 那么曲线 C 可以表示为 $\phi(\mathbf{z}(t), t) = 0$

上式对 z 求偏导数, 得到: $\nabla \phi \cdot \frac{\partial \mathbf{z}(t)}{\partial t} + \frac{\partial \phi}{\partial t} = 0$

图像域中的力场对曲线位置的影响可以表示为: $\frac{\partial \mathbf{z}(t)}{\partial t} = F \vec{N}$

作用在曲线 C 方向上的力不会改变曲线的位置。

上式化简得到 *level set equation*: $\frac{\partial \phi}{\partial t} = -F \|\nabla \phi\|$

在实际曲线更新中(时间离散), 使用下式进行迭代计算: (这里假设 F 与 ϕ 相关)

$$\phi^{n+1} = \phi^n - \Delta t \{F(\phi^n) \|\nabla \phi^n\|\}$$

Geodesic active contour (GAC)

原理

这里, 力场 F 基于曲线 C 的曲率和图像的边界。

设曲线 C 的参数形式为: \mathbf{c}_s , W 随图像梯度的增大而减小, 称为 edge-indication function。

GAC 希望最小化泛函

$$E(\mathbf{c}(s)) = \frac{\alpha}{2} \int_0^1 \|\mathbf{c}'(s)\|^2 ds + \lambda \int_0^1 W(\|\nabla f(\mathbf{c}(s))\|)^2 ds$$

即, 在使曲线 C 长度尽可能小的同时, 让曲线两侧图像的梯度尽可能大。

使用 level-set 方法求解, 可以证明:

$$\frac{\partial \phi}{\partial t} = (c + \kappa)W \|\nabla \phi\| + \nabla \phi \cdot \nabla W$$

$$F = -\nabla \cdot \left(W \frac{\nabla \phi}{\|\nabla \phi\|} \right) - cW$$

将 F 代入上面的迭代方程即可求解 ϕ 。

实现

准备工作

- signed distance functions

实际中, ϕ 使用 符号距离函数, 其定义如下:

$$\phi(x, y) = \begin{cases} D(x, y) > 0 & \text{if } (x, y) \in \Omega^+ \\ 0 & \text{if } (x, y) \in \Omega_0 \\ -D(x, y) > 0 & \text{if } (x, y) \in \Omega^- \end{cases}$$

式中 $D(x, y)$ 表示点 (x, y) 到曲线 C 上的点的最小距离.

易见, 这样的 ϕ 满足: $\|\nabla\phi(x, y)\| = 1$

- edge-indication function

使用: $g(x) = \frac{1}{1+\|\nabla G_\sigma I^*(x)\|^2}$ 作为 edge-indication function

式中, $I(x)$ 表示图像, G_σ 表示高斯卷积核

使用高斯核先进行卷积操作是为了减少噪声的影响。

具体代码如下:

```
def create_g(img):
    G = guassion_kernel(3,3) # 高斯卷积核
    Gx, Gy = np.gradient(G) # 梯度
    img2 = padding(img, G) # 填充图像
    g = conv2d(img2, Gx)**2 + conv2d(img2, Gy)**2
    g = g[1:-1, 1:-1]
    return 1/(1+g)
```

使用 $3 \times 3, \sigma = 1$ 的高斯核进行操作。式中用到 $\nabla(G_\sigma I^*(x)) = \nabla G_\sigma I^*(x)$

guassion_kernel, padding, conv2d 都是之前作业中实现过的函数, 这里不再展示。

- 梯度计算

这里, 我在 x, y 两个方向上分别计算了三种梯度: $\phi(x+1) - \phi(x)$, $\phi(x) - \phi(x-1)$, $(\phi(x+1) - \phi(x-1))/2$

代码如下: (仅展示 x 方向, y 方向几乎相同)

```
def Dx_p(phi):
    A = shift_L(phi)
    return A - phi

def Dx_m(phi):
    B = shift_R(phi)
    return phi - B

def Dx_o(phi):
    A = shift_L(phi)
    B = shift_R(phi)
    return (A-B)/2
```

其中，函数 `shift_L` 表示将矩阵向左滑动一个列，最后一列复制倒数第二列。

相似的函数还有 `shift_R`, `shift_U`, `shift_D` ,都是将矩阵向某方向滑动一个单位，便于梯度的计算。

下面展示 `shift_L` 代码：（其余函数几乎相同）

```
def shift_L(phi):
    A = np.roll(phi, -1, axis=1)
    A[:, -1] = phi[:, -1]
    return A
```

另外，还需要计算二阶偏导数 D_{xx} , D_{xy} , D_{yy} ,

根据公式： $\phi_{xx} = \phi(x+1, y) - 2\phi(x, y) + \phi(x-1, y)$

$\phi_{yy} = \phi(x, y+1) - 2\phi(x, y) + \phi(x, y-1)$

$\phi_{xy} = \frac{1}{4}[\phi(x+1, y+1) - \phi(x-1, y+1) - \phi(x+1, y-1) + \phi(x-1, y-1)]$

代码如下：

```
def Dxx(phi):
    A = shift_L(phi)
    B = shift_R(phi)
    return A + B - 2*phi

def Dyy(phi):
    C = shift_U(phi)
    D = shift_D(phi)
    return C + D - 2*phi

def Dxy(phi):
    D_xy = (shift_R(shift_D(phi)) - shift_L(shift_D(phi)) +
            shift_L(shift_U(phi)) - shift_R(shift_U(phi))) / 4
    return D_xy
```

- 曲率计算

$$\kappa = \operatorname{div} \left(\frac{\nabla \phi(x, y)}{\|\nabla \phi(x, y)\|} \right) = \nabla \cdot \left(\frac{\nabla \phi(x, y)}{\|\nabla \phi(x, y)\|} \right) = \frac{\phi_{xx}\phi_y^2 - 2\phi_x\phi_y\phi_{xy} + \phi_{yy}\phi_x^2}{(\phi_x^2 + \phi_y^2)^{3/2}}$$

```
def curvature(phi):
    # 计算梯度
    phi_x = Dx_o(phi)
    phi_y = Dy_o(phi)
    phi_xx = Dxx(phi)
    phi_yy = Dyy(phi)
    phi_xy = Dxy(phi)
    # 计算梯度的模长
    phi_cube = (phi_x * phi_x + phi_y * phi_y) ** 1.5
    kappa = (phi_xx * phi_y * phi_y - 2 * phi_y * phi_x * phi_xy +
            phi_yy * phi_x * phi_x) / (phi_cube + (phi_cube < 1e-4))
    return kappa
```

lsm_evolution 迭代计算曲线演化

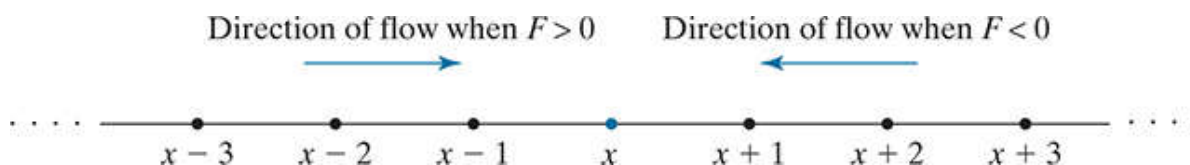
函数 `lsm_evolution` 计算了多次迭代后 ϕ 的值，参数如下：

```
:param phi: 水平集函数 phi
:param a: -图像灰度值矩阵g (经过高斯核模糊)
:param u: g对 x 的偏导数
:param v: g对 y 的偏导数
:param b: 图像灰度值矩阵
:param iter: 迭代次数
:param alpha: 用于调整 CLF 条件
:return: 迭代后的水平集函数 phi
```

首先，需要考虑迭代方程在离散空间坐标下的计算。

- 空间离散情况下的迭代中的梯度

考虑一维情况下的 *level set equation*: $\frac{\partial \phi}{\partial t} + F \frac{\partial \phi}{\partial x} = 0$



假设 $\frac{\partial \phi}{\partial x}$ 非负。如果 $F > 0$ ，那么满足 $\phi(x) = 0$ 的 x 将沿数轴正向移动。但此时刻我们并不知道 $\phi(x+1)$ ，故此时刻的导数只能使用 $\phi(x) - \phi(x-1)$ 。

二维情况同理，我们需要根据不同的情况选择不同的梯度计算方法，这是前面计算梯度时实现了多种方法的原因。

记：

$$\begin{aligned} D_x^+ &= \phi(x+1, y) - \phi(x, y) \\ D_x^- &= \phi(x, y) - \phi(x-1, y) \\ D_y^+ &= \phi(x, y+1) - \phi(x, y) \\ D_y^- &= \phi(x, y) - \phi(x, y-1) \end{aligned}$$

$$\begin{aligned} \|\nabla \phi\|^+ &= \left([\max(D_x^-, 0)]^2 + [\min(D_x^+, 0)]^2 + [\max(D_y^-, 0)]^2 + [\min(D_y^+, 0)]^2 \right)^{1/2} \\ \|\nabla \phi\|^- &= \left([\max(D_x^+, 0)]^2 + [\min(D_x^-, 0)]^2 + [\max(D_y^+, 0)]^2 + [\min(D_y^-, 0)]^2 \right)^{1/2} \end{aligned}$$

函数 `lsm_evolution` 是曲线演化函数，其中计算了以上梯度，我们选取了部分代码，如下：

```
phi_x_p = Dx_p(phi) # Dx +
phi_x_m = Dx_m(phi) # Dx -
phi_x_o = Dx_o(phi) # Dx [f(x+1)-f(x-1)]/2
phi_y_p = Dy_p(phi) # Dy +
phi_y_m = Dy_m(phi) # Dy -
phi_y_o = Dy_o(phi) # Dy
```

```

T = a.copy() # 图像I
T[T>0] = 1
T[T<0] = -1

T_max_0 = np.where(T > 0, T, 0)
T_min_0 = np.where(T < 0, T, 0)
phiX_maxM_sq = np.where(phi_x_m > 0, phi_x_m, 0) ** 2 # max(Dx-,0)**2
phiX_minM_sq = np.where(phi_x_m < 0, phi_x_m, 0) ** 2 # min(Dx-,0)**2
phiX_maxP_sq = np.where(phi_x_p > 0, phi_x_p, 0) ** 2 # max(Dx+,0)**2
phiX_minP_sq = np.where(phi_x_p < 0, phi_x_p, 0) ** 2 # min(Dx+,0)**2

phiY_maxM_sq = np.where(phi_y_m > 0, phi_y_m, 0) ** 2 # 同上,对y
phiY_minM_sq = np.where(phi_y_m < 0, phi_y_m, 0) ** 2
phiY_maxP_sq = np.where(phi_y_p > 0, phi_y_p, 0) ** 2
phiY_minP_sq = np.where(phi_y_p < 0, phi_y_p, 0) ** 2

phi_x_sq = T_max_0 * (phiX_maxM_sq+phiX_minP_sq) - T_min_0 *
(phiX_minM_sq+phiX_maxP_sq) # 计算 phi 的梯度
phi_y_sq = T_max_0 * (phiY_maxM_sq+phiY_minP_sq) - T_min_0 *
(phiY_minM_sq+phiY_maxP_sq)
phi_upwind = np.sqrt(phi_x_sq + phi_y_sq)

```

- 迭代公式的计算

根据以上讨论，迭代方程可以写为：

$$\phi^{n+1} = \phi^n - \Delta t \{ \max(F, 0) \|\nabla \phi^n\|^+ + \min(F, 0) \|\nabla \phi^n\|^- \}$$

将 $F = -\nabla \cdot \left(W \frac{\nabla \phi}{\|\nabla \phi\|} \right) - cW$ 带入即可求解。

在具体实现中，我们细化了公式：（ W 和 g 相同）

$$\nabla \cdot \left(g \frac{\nabla \phi}{\|\nabla \phi\|} \right) = \left(\nabla g \cdot \frac{\nabla \phi}{\|\nabla \phi\|} + g \operatorname{div} \left(\frac{\nabla \phi}{\|\nabla \phi\|} \right) \right) = \frac{1}{\|\nabla \phi\|} ((g_x \phi_x + g_y \phi_y) + \kappa g)$$

这里的 $\nabla \phi$ 同样使用了"逆风"形式的离散化梯度实现。

```

u_max0 = np.where(u > 0, u, 0) # gx, gy
u_min0 = np.where(u < 0, u, 0)
v_max0 = np.where(v > 0, v, 0)
v_min0 = np.where(v < 0, v, 0)
# 部分细化公式的实现
convection_upwind = u_max0 * phi_x_m + u_min0 * phi_x_p + v_max0 * phi_y_m
+ v_min0 * phi_y_p # 计算细化公式中的gx*phi_x + gy*phi_y
abs_grad_phi_central = np.sqrt(phi_x_o ** 2 + phi_y_o ** 2)
# 曲率
kappa = curvature(phi)
# 迭代
phi = phi + delta_t * (-a * abs_grad_phi_upwind - convection_upwind + b *
kappa * abs_grad_phi_central)

```

- CLF 条件

前面提到，使用类似“逆风”形式来计算梯度，这说明梯度的传播速度比水平集的传播速度慢。另外，时间步长也会影响水平集传播的速度。水平集方程迭代得到稳定解的一个必要条件是 Courant-Friedrichs-Lewy (CLF) 条件：

$$\Delta t < \frac{1}{\max |F|}$$

同样，代码在函数 *lsm_evolution* 中，我选取了部分代码，如下：

```
# CFL condition
abs_H1 = np.abs(u + a * np.sqrt(phi_x_sq) / (abs_grad_phi_upwind +
(abs_grad_phi_upwind == 0)))
abs_H2 = np.abs(v + a * np.sqrt(phi_y_sq) / (abs_grad_phi_upwind +
(abs_grad_phi_upwind == 0)))
max_H1_H2 = np.max(abs_H1 + abs_H2 + 4*b)
delta_t = alpha / (max_H1_H2 + (max_H1_H2 == 0))
```

Reinitialization

由于数值原因，水平集 ϕ 在迭代过程中可能无法保证 signed distance function 的性质，即 $\|\nabla\phi\| = 1$ 。因此，水平集函数需要周期性的被重新初始化为满足上述条件的函数。

$S(\tilde{\phi}) = \frac{\tilde{\phi}}{\sqrt{\tilde{\phi}^2 + \epsilon^2}}$ 是 smoothed sign function, 可以用它来对 ϕ 进行矫正：

$$\partial_\tau \phi^v + S(\tilde{\phi}) (|\nabla \phi^v| - 1) = 0$$

理论推导比较复杂，我们直接用数值迭代的方法求解该方程，代码如下：

```
def reinitialization(phi, iter):
    s = phi/np.sqrt(phi**2 + 1) # 计算smoothed sign function,
    for i in range(iter):
        phi_x_p = Dx_p(phi) # 这里的大部分代码仍在计算"逆风"梯度，和上面展示的代码几乎是相同的
        phi_x_m = Dx_m(phi)
        phi_y_p = Dy_p(phi)
        phi_y_m = Dy_m(phi)
        T = S.copy()
        T[T>0] = 1
        T[T<0] = -1
        T_max_0 = np.where(T>0, T, 0)
        T_min_0 = np.where(T<0, T, 0)
        phiX_maxM_sq = np.where(phi_x_m>0, phi_x_m, 0)**2
        phiX_minM_sq = np.where(phi_x_m < 0, phi_x_m, 0)**2
        phiX_maxP_sq = np.where(phi_x_p > 0, phi_x_p, 0)**2
        phiX_minP_sq = np.where(phi_x_p<0, phi_x_p, 0)**2
        temp1 = np.where(phiX_maxM_sq > phiX_minP_sq, phiX_maxM_sq,
        phiX_minP_sq)
```

```

temp2 = np.where(phiX_minM_sq > phiX_maxP_sq, phiX_minM_sq,
phiX_maxP_sq)

phiY_maxM_sq = np.where(phi_y_m > 0, phi_y_m, 0) ** 2
phiY_minM_sq = np.where(phi_y_m < 0, phi_y_m, 0) ** 2
phiY_maxP_sq = np.where(phi_y_p > 0, phi_y_p, 0) ** 2
phiY_minP_sq = np.where(phi_y_p < 0, phi_y_p, 0) ** 2
temp3 = np.where(phiY_maxM_sq > phiY_minP_sq, phiY_maxM_sq,
phiY_minP_sq)
temp4 = np.where(phiY_minM_sq > phiY_maxP_sq, phiY_minM_sq,
phiY_maxP_sq)

phi_x_sq = T_max_0 * temp1 - T_min_0 * temp2
phi_y_sq = T_max_0 * temp3 - T_min_0 * temp4
abs_grad_phi = np.sqrt(phi_x_sq + phi_y_sq)
# 这里使用了上面提到的CLF条件来选取delta_t
abs_H1 = np.abs(S * np.sqrt(phi_x_sq) / (abs_grad_phi +
(abs_grad_phi == 0)))
abs_H2 = np.abs(S * np.sqrt(phi_y_sq) / (abs_grad_phi +
(abs_grad_phi == 0)))
max_H1_H2 = np.max(abs_H1 + abs_H2)

delta_t = 1 / (max_H1_H2 + (max_H1_H2 == 0))
# 迭代求解
phi = phi + delta_t * (-S * abs_grad_phi + S)
return phi

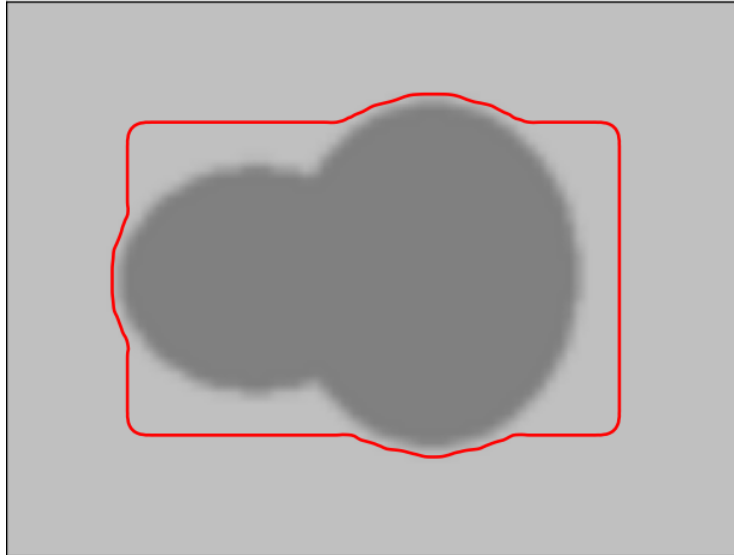
```

我们用如下图片并选择初始水平集：

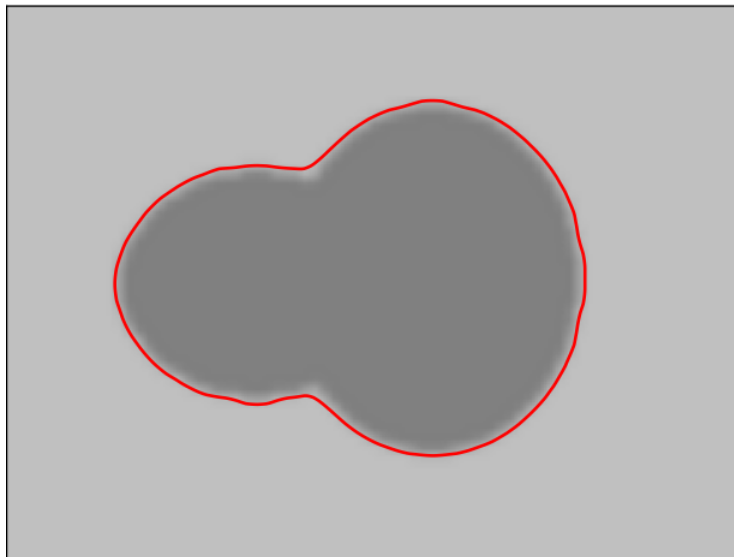


结果如下：

Iteration: 40



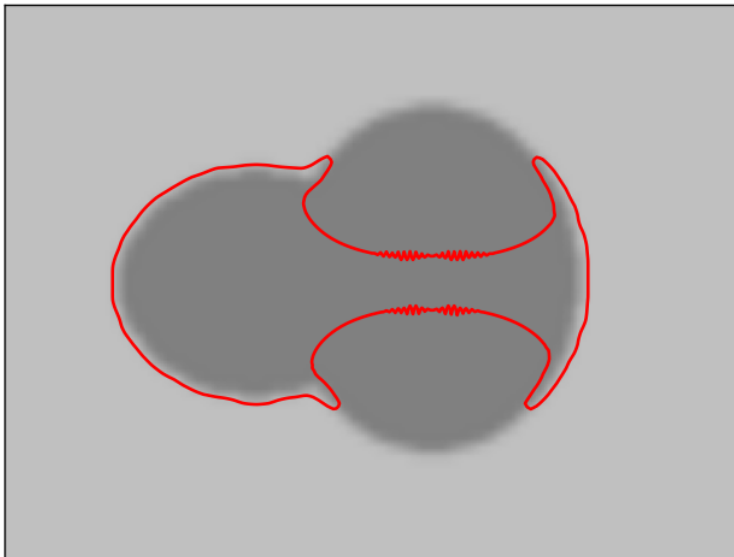
Iteration: 101



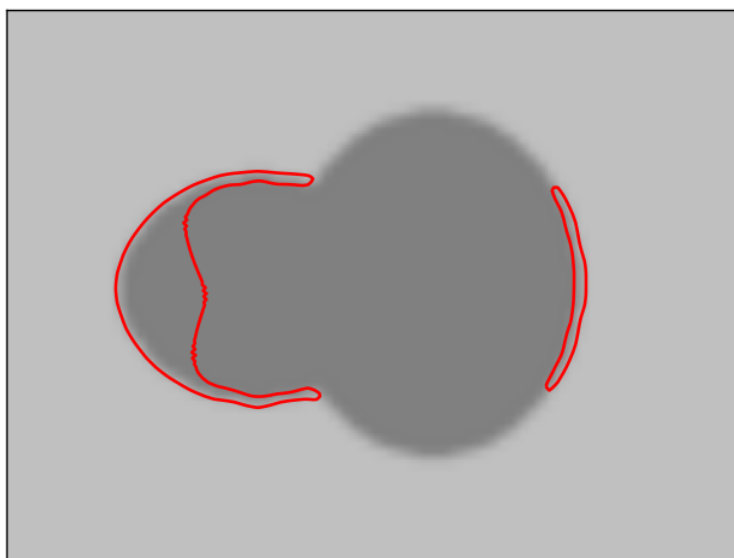
但是，如果初始水平集没能框住中心图像的全部，由于目标函数要求最小化曲线长度，会导致曲线最终收缩。



Iteration: 42



Iteration: 95



Chan-Vese model

原理

上述 Geodesic active contour 模型对图像的分割是基于图像的梯度，分割的结果受到图像边缘的质量的影响。

Chan-Vese是基于图像的区域进行分割。

首先定义：

分割曲线 $C = \Omega^0 = \{(x, y) \mid \phi(x, y) = 0\}$ ，并且在曲线内部有 $\phi > 0$ ，曲线外部有 $\phi < 0$ 。

Heaviside function: $H(z) = \begin{cases} 1 & \text{if } z \geq 0 \\ 0 & \text{if } z < 0 \end{cases}$

冲激函数: $\delta(z) = \frac{dH(z)}{dz}$

我们希望最小化以下泛函：

$$\begin{aligned}
E(C, c_1, c_2) = & \mu \int_{\Omega} \delta(\phi(x, y)) \|\nabla \phi(x, y)\| dx dy \\
& + v \int_{\Omega} H(\phi(x, y)) dx dy \\
& + \lambda_1 \int_{\Omega} (f(x, y) - c_1)^2 H(\phi) dx dy \\
& + \lambda_2 \int_{\Omega} (f(x, y) - c_2)^2 (1 - H(\phi)) dx dy
\end{aligned}$$

式中，第一项表示曲线 C 的长度，第二项表示曲线 C 围成的面积。

后两项假设图像的两个区域的灰度值为常数，并计算各个区域的灰度方差(假设均值为 c)。

仅对 c_1, c_2 求导，可求出其取值：

$$\begin{aligned}
c_1 &= \frac{\int_{\Omega} f(x, y) H(\phi(x, y)) dx dy}{\int_{\Omega} H(\phi(x, y)) dx dy} \\
c_2 &= \frac{\int_{\Omega} f(x, y) [1 - H(\phi(x, y))] dx dy}{\int_{\Omega} [1 - H(\phi(x, y))] dx dy}
\end{aligned}$$

可以求出：

$$\frac{\partial \phi}{\partial t} = \delta(\phi) \left[\mu \nabla \cdot \left(\frac{\nabla \phi}{\|\nabla \phi\|} \right) - v - \lambda_1 (f - c_1)^2 + \lambda_2 (f - c_2)^2 \right]$$

故：

$$F = - \left[\mu \nabla \cdot \left(\frac{\nabla \phi}{\|\nabla \phi\|} \right) - v - \lambda_1 (f - c_1)^2 + \lambda_2 (f - c_2)^2 \right]$$

将 F 代入GAC中的迭代公式，即可求解 ϕ

实现

准备工作

CV算法中求梯度等方法都已在GAC算法中实现，所用的函数均为GAC算法中的函数。

cv_evolution 迭代计算曲线演化

函数 `cv_evolution` 使用CV算法进行曲线演化，参数如下：

```

:param phi: 水平集函数phi
:param u: 图像灰度值矩阵
:param mu: 公式 E 中, 曲线长度项前的系数
:param v: 公式 E 中, 曲线围成面积项前的系数
:param lambda1: 公式 E 中, 第一个方差项前的系数
:param lambda2: 公式 E 中, 第二个方差项前的系数
:param delta_t: 步长
:param iter_num: 迭代次数
:return: 演化后的phi

```

- 计算 $\nabla \cdot \left(\frac{\nabla \phi}{\|\nabla \phi\|} \right)$

```

phi_y, phi_x = np.gradient(phi)    # 计算两个方向的梯度
grad_norm = np.sqrt(phi_x**2 + phi_y**2)
phi_x = phi_x/(grad_norm + 1e-6)  # 归一化
phi_y = phi_y/(grad_norm + 1e-6)
Mxx, Nxx = np.gradient(phi_x)    # 计算散度
Nyy, Myy = np.gradient(phi_y)
divergence = Nxx + Nyy

```

- 计算 c_1, c_2

```

c1 = np.mean(u[phi>0])
c2 = np.mean(u[phi<0])

```

- 计算 冲激函数

使用 $H(\phi) = \frac{1}{2} \left[1 + \frac{2}{\pi} \arctan \left(\frac{\phi}{\epsilon} \right) \right]$ 近似 Heaviside function

冲激函数为 $\delta(\phi) = \frac{dH(\phi)}{d\phi} = \frac{1}{\pi} \frac{\epsilon}{\epsilon^2 + \phi^2}$

```

delta_phi = eps/(np.pi * (eps**2 + phi**2))

```

- ϕ 的迭代公式

```

phi_t = mu * divergence - v - lambda1 * (u - c1) **2 + lambda2 * (u - c2) ** 2
phi = phi + delta_t * phi_t * delta_phi

```

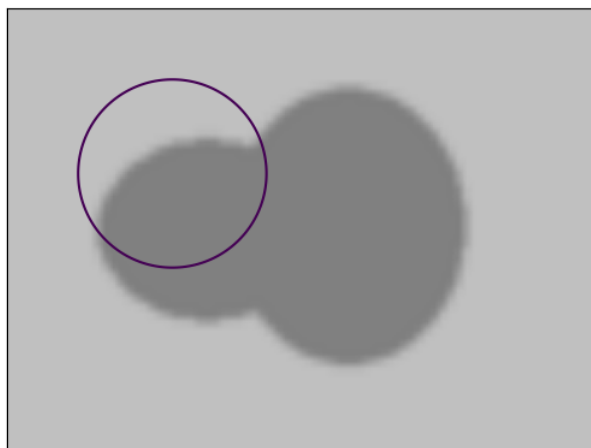
Reinitialization

同样, 由于数值原因, 水平集 ϕ 在迭代过程中可能无法保证 signed distance function 的性质, 即 $\|\nabla \phi\| = 1$

我们使用和GAC中同样的方法对水平集函数进行重新初始化, 代码不再展示。

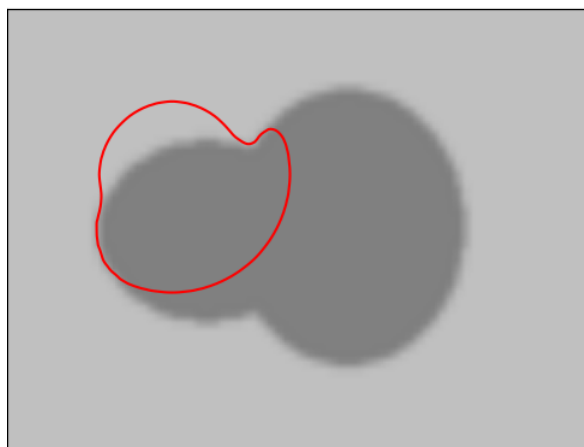
实验结果

我们使用如下图片，并选定初始水平集：

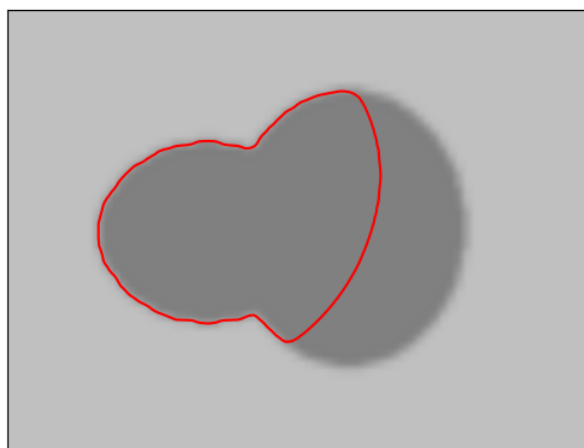


使用Chan-Vese算法，结果如下：

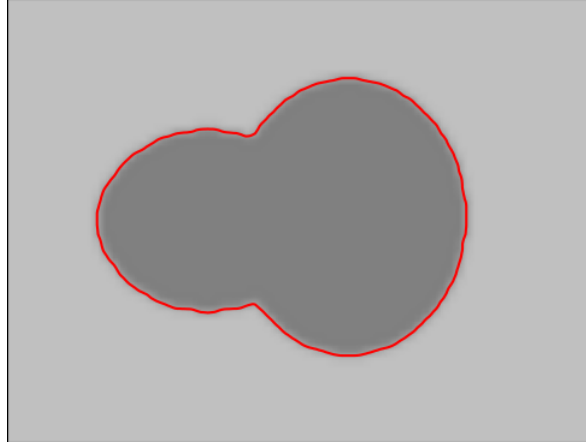
Iteration: 15



Iteration: 60



Iteration: 120



曲线逐渐滑动并包裹了中间的图形。

Graph Cut Method

问题描述

Graph Cut算法是由Yuri Y.Boykov和Marie-Pierre Jolly于2001年提出的一种基于图论的图分割算法。Graph Cut的目标是通过人工交互式分割技术，将图像分割成两个部分：前景(object，简写为obj)和背景(background，简写为bkg)。

在图论观点中，一张图可以被表征为许多像素点 p 的集合，我们将这个集合称为 P 。其中每两个相邻的像素点都会产生一个无序像素点对 $\{p, q\}$ ，我们把这些无序像素点对形成的集合称为 N 。例如，在二维图像中，一个像素点有8个邻居节点，在三维图像中，一个像素点有26个邻居节点。

现在我们假设有一个二值的向量 $A = (A_1, \dots, A_p, \dots, A_{|P|})$ 。其中 A_p 对应于图中某像素点的标签，用于标识该像素点属于前景或是背景，如此我们就可以通过 A 来定义任意一种分割方法。

损失函数设计

基于原论文，我们构建如下的损失函数来量化对 A 的分割的代价。在所有分割中，代价最小化的分割方式即被称为最小割，并作为Graph Cut的最终结果返回。

$$E(A) = \lambda \cdot R(A) + B(A)$$

其中

$$R(A) = \sum_{p \in P} R_p(A_p)$$
$$B(A) = \sum_{\{p, q\} \in N} B_{\{p, q\}} \cdot \delta(A_p, A_q)$$

并有

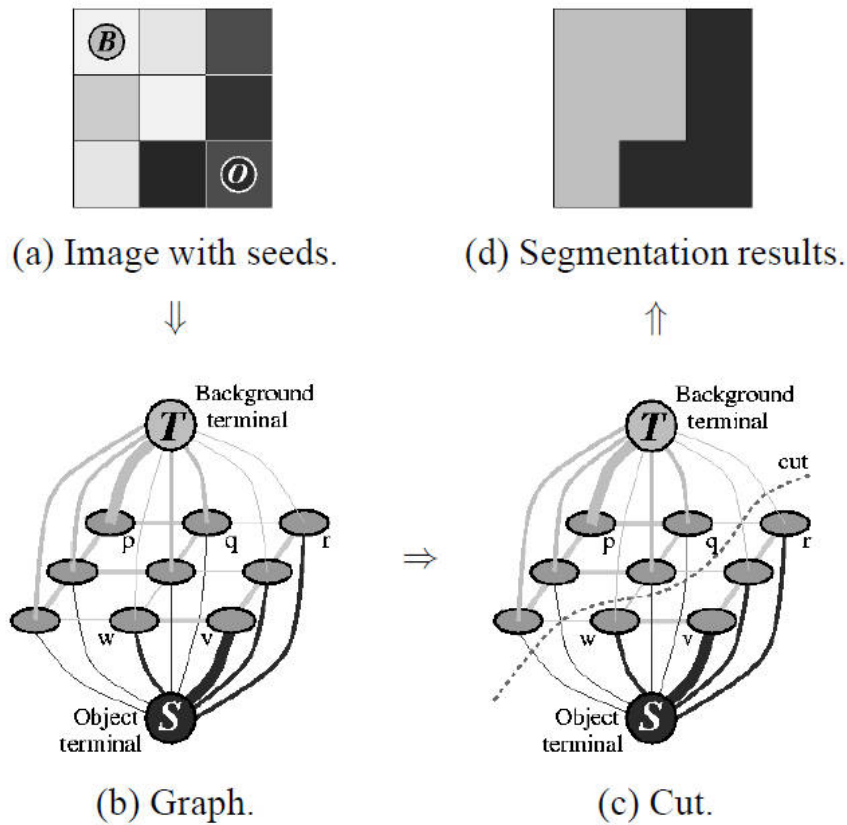
$$\delta(A_p, A_q) = \begin{cases} 1 & \text{if } A_p \neq A_q \\ 0 & \text{otherwise} \end{cases}$$

由上述损失函数定义可知，损失函数 $E(A)$ 主要分为两项：

- 区域项(region properties) $R(A)$ ：该项用于描述分割 A 中每一个像素点的损失总和。其中单个像素点 p 的损失为 $R_p(A_p)$ ，又因为 A_p 只有两种取值，所以损失为 $R_p(obj)$ 或 $R_p(bkg)$ ，即像素点 p 被归为前景的损失或者被归为背景的损失。此外，我们还有 $\lambda \geq 0$ ，系数 λ 主要用于调节区域项和边界项的比例关系。
- 边界项(boundary properties) $B(A)$ ：该项用于描述被分割开的边的损失总和，可以理解为将这些边割开所要付出的代价。每一对相邻像素 $\{p, q\}$ 所连接成的边的cost是 $B_{\{p, q\}}$ 。当 p 和 q 的差异(比如距离上的差异或者像素值上的差异)很小时， $B_{\{p, q\}}$ 很大；反之亦然。此外， $\delta(A_p, A_q)$ 是用于计算，达到将不同标签的像素点分开时才计算该边分割损失的作用。

最大流-最小割模型构建

我们可以将一幅图像理解为一个无向图 $G = \langle V, E \rangle$ ，其中， V 是像素点的集合， E 是无向边的集合。如下图所示：



以此为例，上图是一张 3×3 分辨率的图像，共有9个像素点。作者在原像素点的基础上引入了两个特殊节点，称为终端节点(terminals)。这两个终端节点分别为前景节点(图中S点)和背景节点(图中T点)。同样的，边也可被分为两种，像素点与像素点之间相连接的边称为n-link边，像素点与终端节点相连的边则称为t-link边。联系上一小节对损失函数的分析不难发现，t-link边的损失就对应 $R_p(A_p)$ ，n-link边的损失则为 $B_{\{p, q\}}$ 。

在进行分割操作时，分割路径上的n-link边会断开，其一是属于前景的像素点与T点连接的t-link边断开链接，其二是属于背景的像素点与S点连接的t-link边断开，由此，图像就自然地被分成两部分。这种分割方法的总损失可以用之前定义损失函数进行计算，最后根据所有可能的分割方式，得到总损失最小的分割方式(最小割)，即等同于求损失函数的最小值。为快速求解惩罚函数的最小值，我们使用最大流-最小割的算法进行求解，此处从略。

区域项的计算

区域项的计算需要用到人工标注信息(seeds), 尔后分别按照前景seeds和背景seeds绘制两个灰度直方图。灰度直方图只需将原始图像转化得到灰度图像即可。

现在, 假设有像素点 p (非seeds), 其像素值为 I_p , 根据直方图, 可以得到该像素点属于前景的概率为 $Pr(I_p|O)$, 即在前景灰度直方图中, 像素值为 I_p 的像素点数目除以该直方图所有像素点的数目。同理, 可以求得点 p 属于背景的概率为 $Pr(I_p|B)$ 。对其取负对数, 即可得到 $R_p(A_p)$ 的计算公式:

$$\begin{aligned} R_p(\text{obj}) &= -\ln \Pr(I_p | \mathcal{O}) \\ R_p(\text{bkg}) &= -\ln \Pr(I_p | \mathcal{B}) \end{aligned}$$

边界项的计算

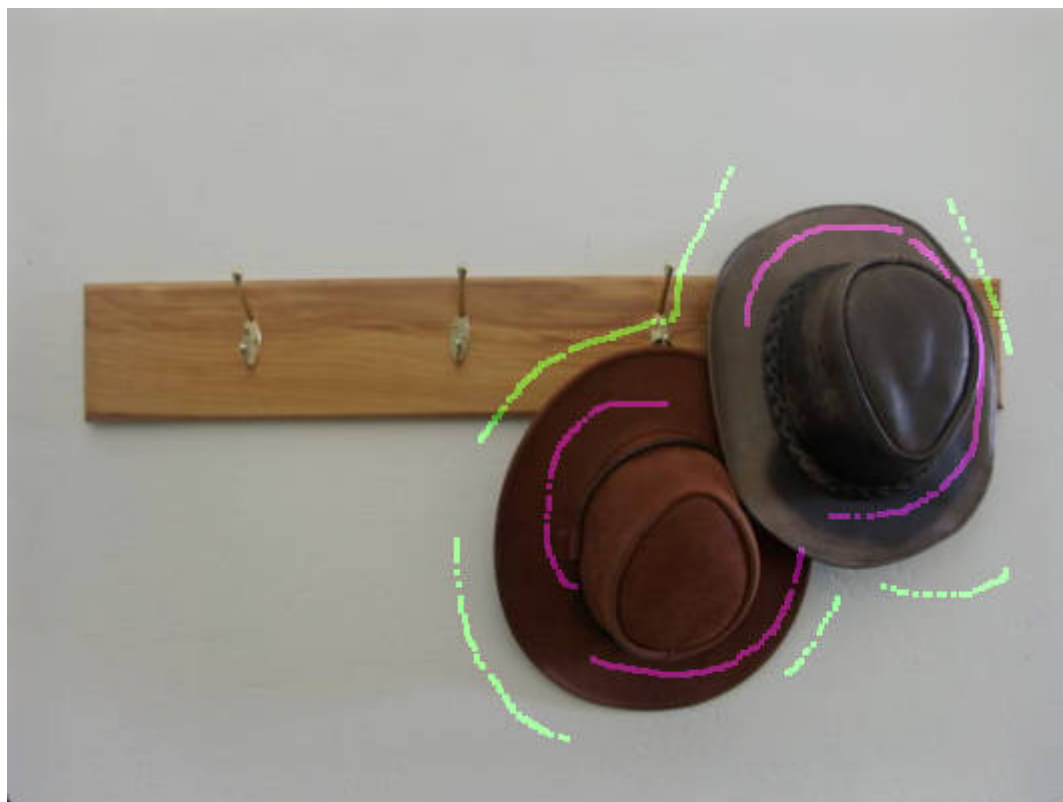
论文给出计算公式如下:

$$B_{\{p,q\}} \propto \exp\left(-\frac{(I_p - I_q)^2}{2\sigma^2}\right) \cdot \frac{1}{\text{dist}(p,q)}$$

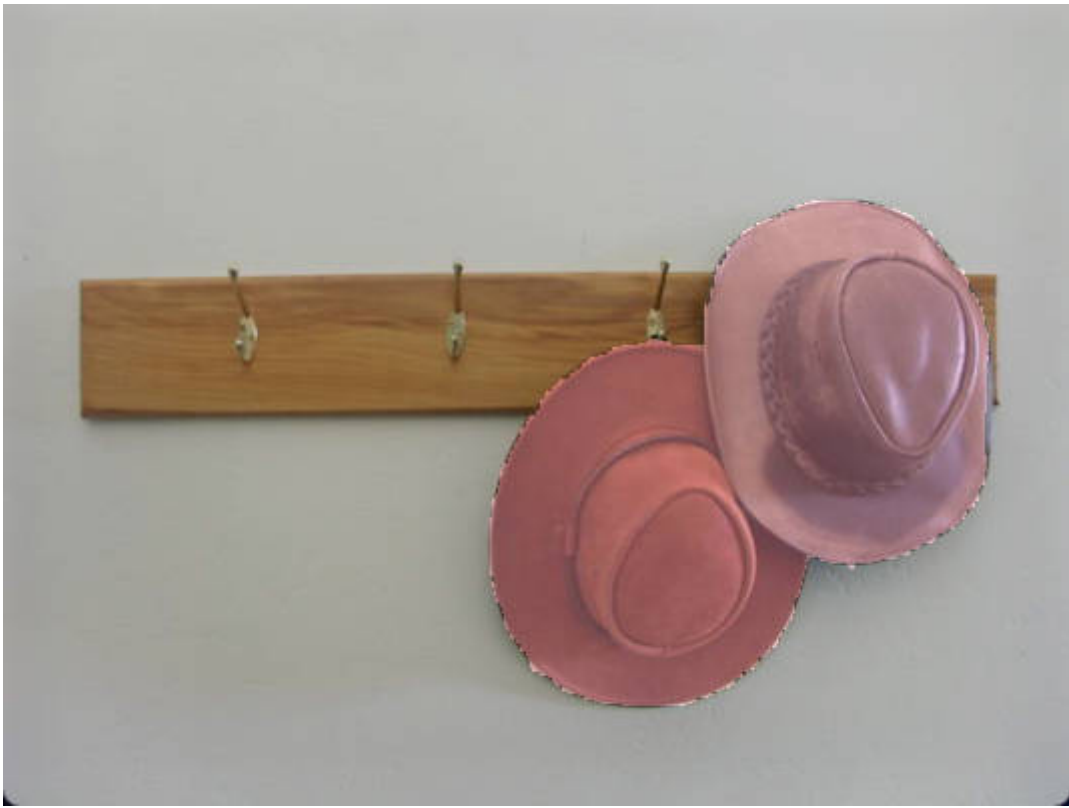
- 第一项主要用于衡量两个相邻像素点的像素值差异, 是一个高斯分布, I_p 和 I_q 是相邻像素 $\{p,q\}$ 中 p,q 的灰度值, σ^2 是方差。
- 第二项主要用于衡量两个相邻像素点的距离差异, 即 $\text{dist}(p,q)$, 通常采用欧式距离进行计算。

实验结果

如图采样, 粉色点为前景, 绿色点为背景



算法前景遮罩效果如下



最终分割结果为



图像分割 (Image Segmentation)

开发环境

环境	版本
numpy	1.22.3
matplotlib	3.5.1
pillow	9.0.1
scipy	1.8.0
opencv-python	4.5.3.56
pyqt5	5.15.4
PyMaxFlow	1.2.13

代码结构

- cv.py: Chan-Vese算法的实现，您可以直接运行，在这里的运行速度较快
- gac.py: Geodesic Active Contour算法的实现，您可以直接运行，在这里的运行速度较快
- graph_cut.py: Graph Cut算法的实现
- gc_gui.py: Graph Cut算法的前端，您也可以直接运行
- gui.py: 一个整合的前端应用，在这里可以访问三个任务，但执行速度不快
- plot_utils.py: 涵盖了选点等操作

运行

考虑到运行速度，我们避免生成可执行文件(.exe)。您可以尝试以下格式运行文件。

```
python xxx.py    #xxx = {cv, gac, gc_gui, gui}
```

使用手册（详见视频展示）

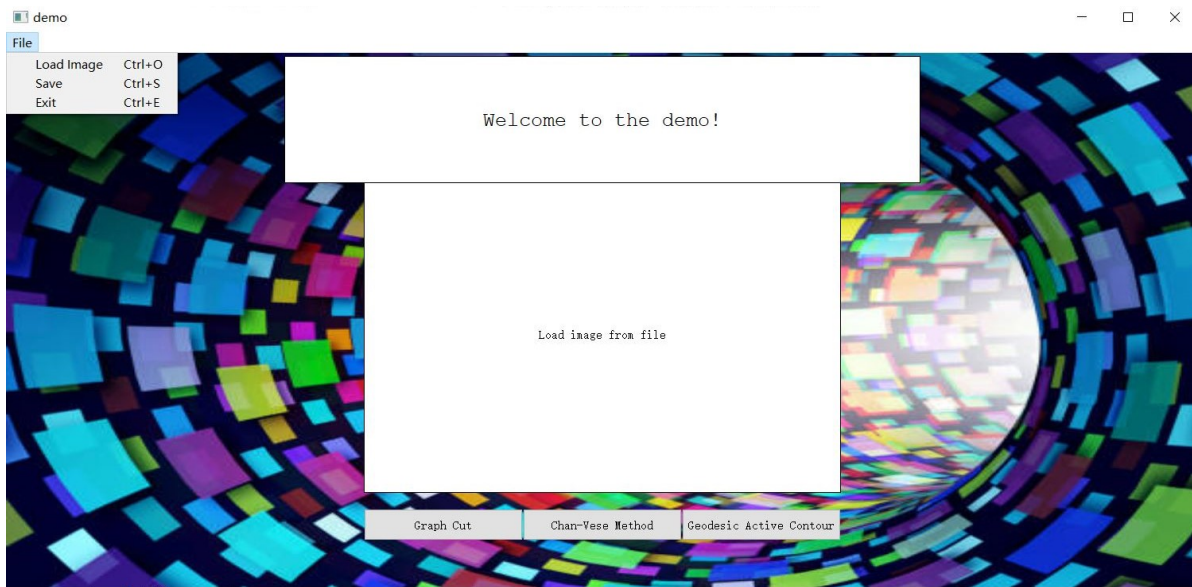
首先安装必要的环境，部分环境等待时间较长

```
pip install -r requirements.txt
```

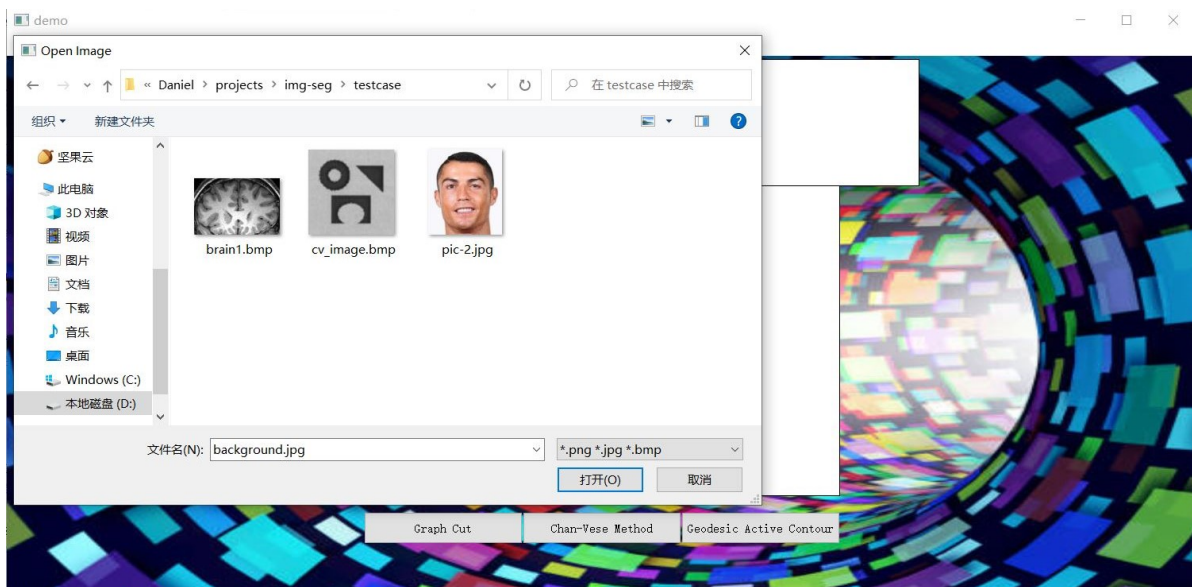
使用命令行运行GUI

```
python gui.py
```

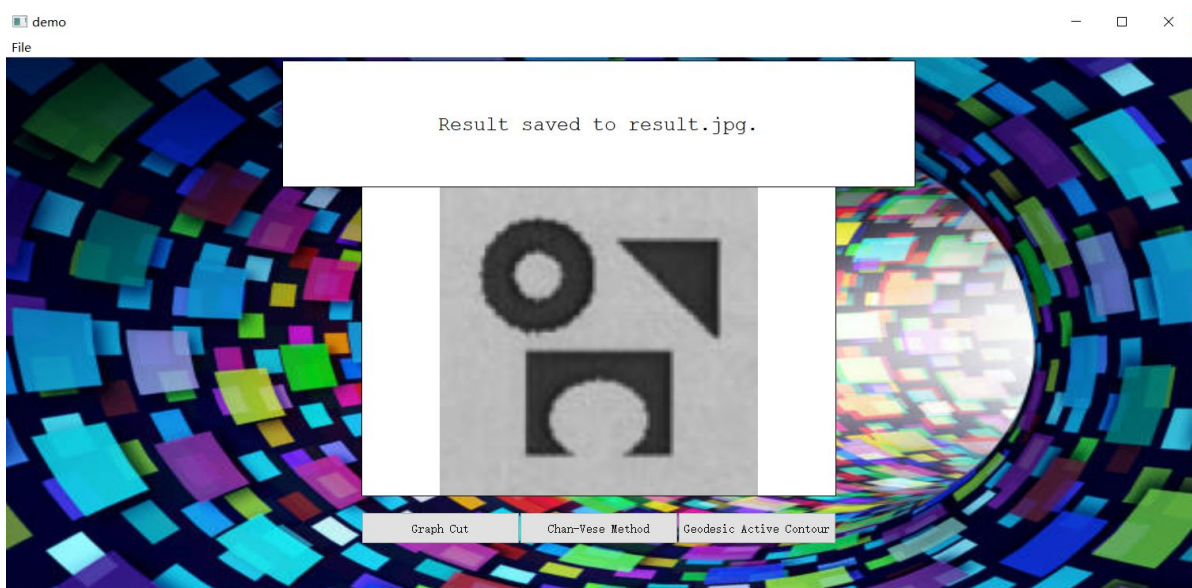
如左上角所示，您可以点击Load Image或者使用快捷键CTRL+O来读取一张照片



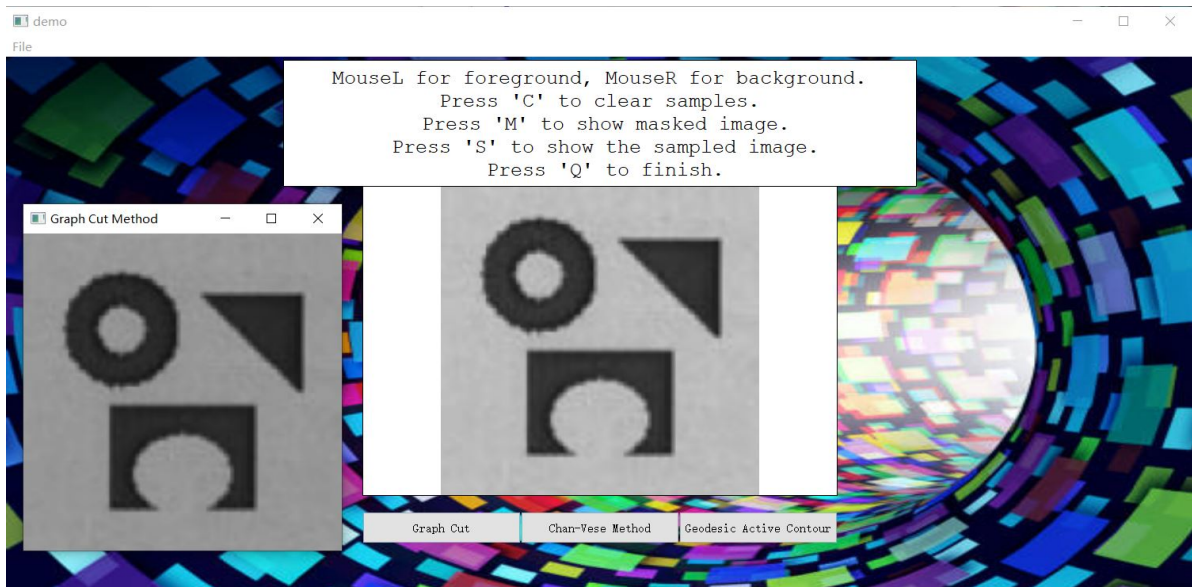
选取您想要的照片，./testcase文件夹中存放了一些可以使用的样例



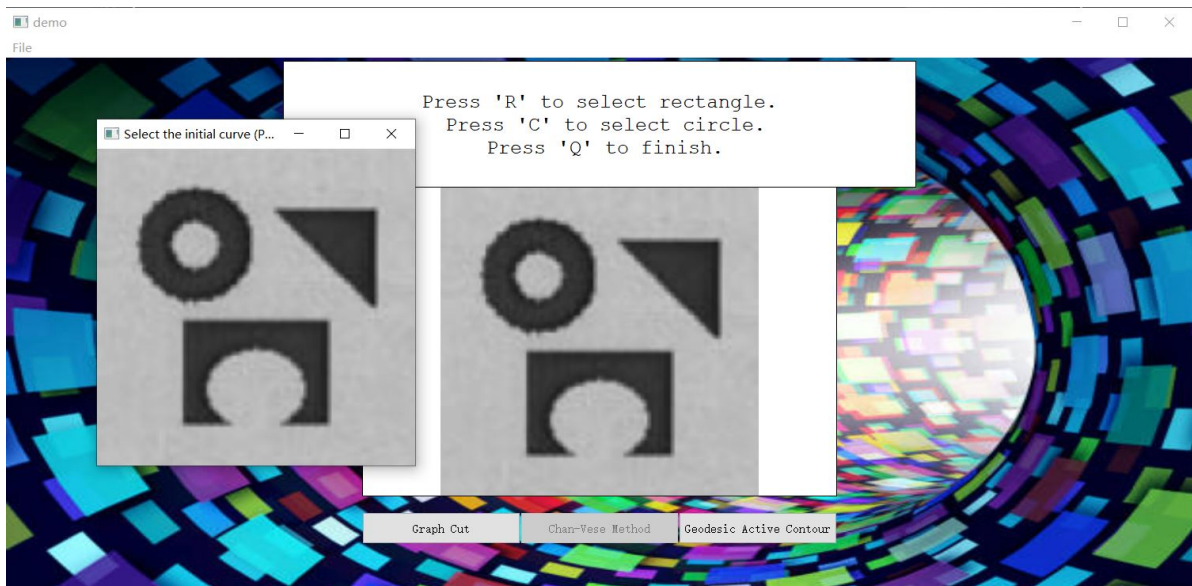
一旦中间的图片展示区有图片，您可以点击Save或者CTRL+S保存图片为./result.jpg



点击Graph Cut按钮，进入Graph Cut算法演示。请按照Msgbox中的指示操作，详见视频。



点击Chan-Vese Method，进入Chan-Vese算法演示。请按照Msgbox中的指示操作，详见视频。



点击Geodesic Active Contour，进入GAC算法演示。请按照Msgbox中的指示操作，详见视频。

